

Wstęp

Celem pracy było zaprojektowanie sterownika minimalno-wariancyjnego, lub sterownika średniej ruchomej, dla obiektu opisanego modelem ARMAX.

$$y(t) = \frac{B(q^{-1})}{A(q^{-1})} u(t - \tau) + \frac{C(q^{-1})}{A(q^{-1})} v(t)$$

gdzie: $y(t)$ – sygnał wyjściowy,

$u(t)$ – sygnał wejściowy,

$v(t)$ – szum biały o zerowej wartości średniej i jednostkowej wariancji,

τ - opóźnienie.

Bieguny obiektu oraz rozłożenie zer

Bieguny obiektu, których położenie związane jest z wielomianem

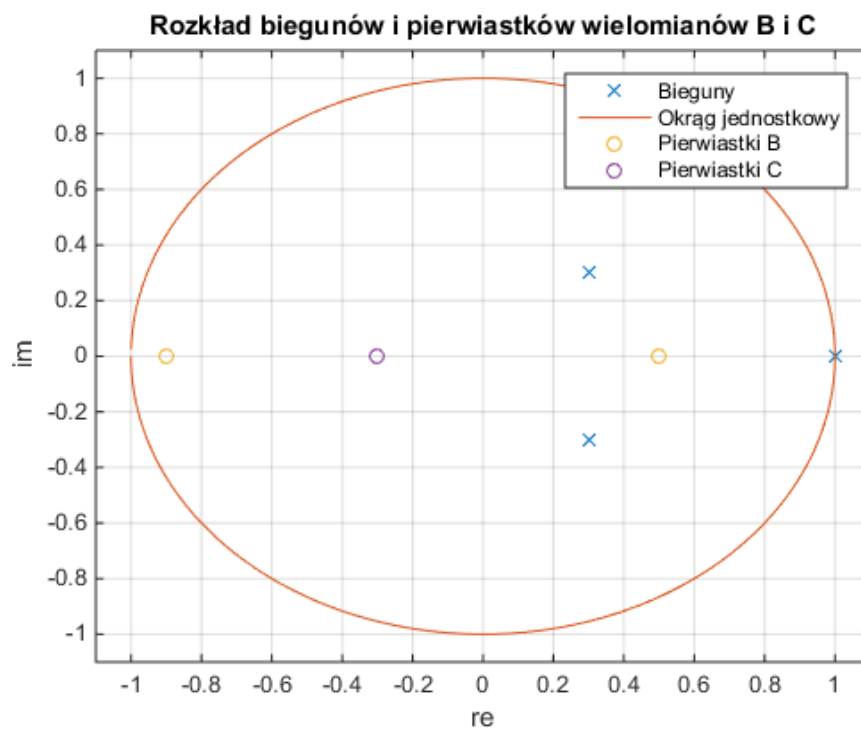
$$A(q^{-1}) = 1 - 1.6q^{-1} + 0.78q^{-2} - 0.18q^{-3}$$

oraz pierwiastki wielomianów

$$B(q^{-1}) = 1 + 0.4q^{-1} - 0.45q^{-2}$$

$$C(q^{-1}) = 1 + 0.3q^{-1}$$

są przedstawione na poniższym rysunku



Wartości biegunów: $1, 0.3 + 0.3i, 0.3 - 0.3i$;

Pierwiastki wielomianu B: $-0.9, 0.5$;

Pierwiastki wielomianu C: -0.3 .

Korygowanie wielomianu C

Wielomian C należy skorygować w taki sposób, aby wszystkie jego pierwiastki znajdowały się wewnątrz okręgu jednostkowego. Jest to wymóg niezbędny do stabilnego działania sterownika minimalno-wariancyjnego, który umieszcza bieguny w miejsca zer.

Dobór zer skracanych przez sterownik

Skracane przez sterownik zera nie mogą znajdować się na okręgu jednostkowym lub w jego pobliżu, np. w punkcie -0.99. Spowoduje to pojawienie się oscylacji w sygnale sterującym. Nie należy również skracać zer znajdujących się poza okręgiem jednostkowym.

Równania diofantyczne i sposób ich rozwiązania

Projektując sterownik minimalnowariancyjny należy rozwiązać równanie diofantyczne

$$C(q^{-1}) = A(q^{-1}) * F(q^{-1}) + q^{-k}G(q^{-1})$$

gdzie: $k = \tau$ - opóźnienie,

$$\deg(F) = k-1,$$

$$\deg(G) = \deg(A)-1.$$

Po rozwiązaniu powyższego równania otrzymano odpowiednie wielomiany F i G

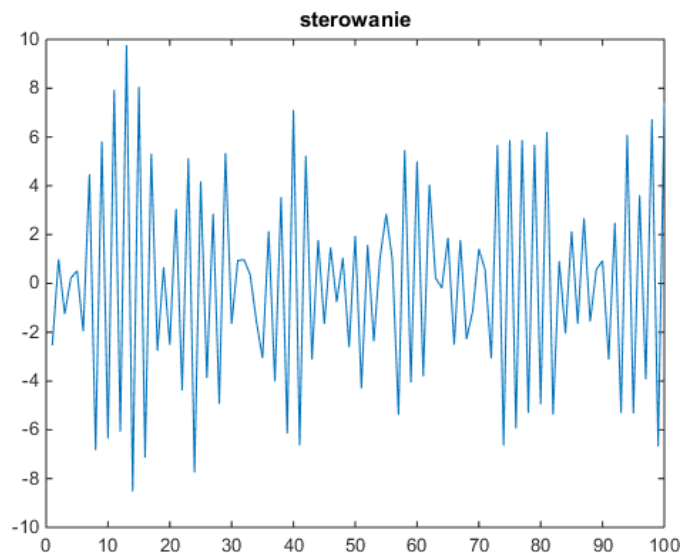
$$F = 1$$

$$G = 1.9 - 0.78q^{-1} + 0.18q^{-2}$$

Sygnał sterujący można obliczyć na podstawie wzoru

$$u(t) = - \frac{G(q^{-1})}{B(q^{-1})F(q^{-1})} y(t)$$

Został przedstawiony na poniższym wykresie



W sygnale sterującym można zauważyć oscylacje, które są charakterystyczne dla modelu posiadającego zera zbyt blisko okręgu jednostkowego. Zastosowano sterownik średniej ruchomej w celu weryfikacji poprawy jakości sterowania. W tym celu rozwiązano zmodyfikowane równanie diofantyczne

$$C(q^{-1}) = A(q^{-1}) * F(q^{-1}) + q^{-k}G(q^{-1})B^{-}(q^{-1})$$

gdzie: $B^{-}(q^{-1})$ – pierwiastki wielomianu B, które nie będą skrócone,

$$\deg(F) = k - 1 + \deg(B^{-}).$$

Założono, że skróceniu nie ulegnie zero w punkcie 0.9. Po rozwiązaniu powyższego równania otrzymano wielomiany

$$G(q^{-1}) = 1.15 - 0.615q^{-1} + 0.15q^{-2}$$

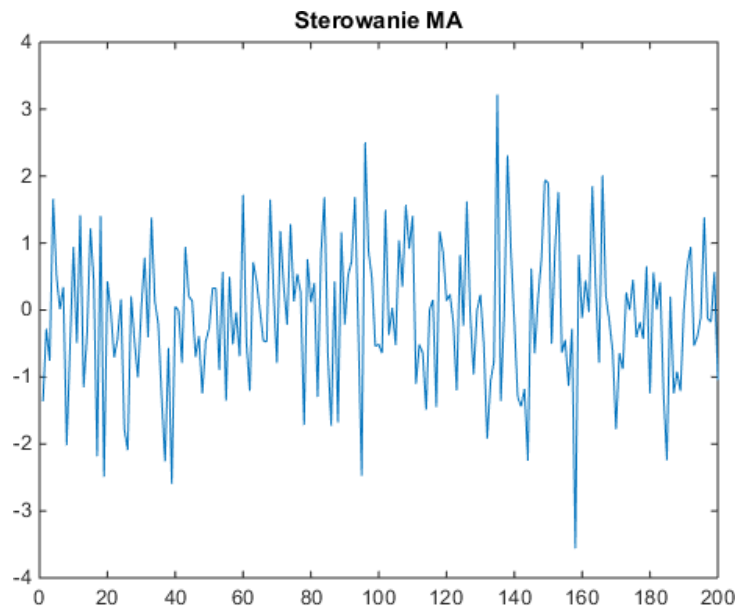
$$F(q^{-1}) = 1 + 0.75q^{-1}$$

Sterowanie obliczono ze wzoru

$$u(t) = - \frac{G(q^{-1})}{B^+(q^{-1})F(q^{-1})} y(t)$$

gdzie: $B(q^{-1}) = B^+(q^{-1})B^-(q^{-1})$.

Sygnał sterujący ma następujący przebieg



Na wykresie można zauważyć, że wartości sygnału sterującego są znacznie mniejsze niż w przypadku sygnału sterującego generowanego przez sterownik minimalno-wariancyjny. Przestały pojawiać się także oscylacje.

Spodziewana wariancja zakłóceń bez sterowania oraz ze sterowaniem

Proces bez sterowania opisuje wzór

$$y(t) = \frac{C(q^{-1})}{A(q^{-1})} v(t)$$

Biegun w punkcie $1.0 + 0.0j$ oznacza, że procesowi nie można zaliczyć do grupy procesów stacjonarnych. Wariancja procesu, który można nazwać błędzeniem losowym, rośnie wraz z czasem zgodnie ze wzorem

$$\text{Var}(Y_t) = \text{Var}(e_1 + e_2 + \dots + e_t) = \text{Var}(e_1) + \text{Var}(e_2) + \dots + \text{Var}(e_t) = \sigma^2 + \dots + \sigma^2 = t\sigma^2$$

Oznacza to, że wariancja rośnie wraz z czasem. Potwierdzają to wyniki symulacji. Nie można zatem podać konkretnej (uśrednionej) wariancji procesu.

Ze sterowaniem zapewnionym przez sterownik średniej ruchomej wyjście procesu opisuje wzór

$$y(t) = F(q^{-1})v(t)$$

Jest to opis procesu MA. Jeśli proces jest odwracalny, tzn. wszystkie pierwiastki wielomianu leżą wewnątrz okręgu jednostkowego, to wariancja może być opisana wzorem

$$\text{Var}(y(t)) = \sigma^2 \sum_{i=0}^{\deg(F)} F_i^2$$

Dla wielomianu F obliczonego na podstawie równań diofantycznych sterownika średniej ruchomej

$$\text{Var}(y(t)) = 1 * (1 + 0.75^2) = 1.5625$$

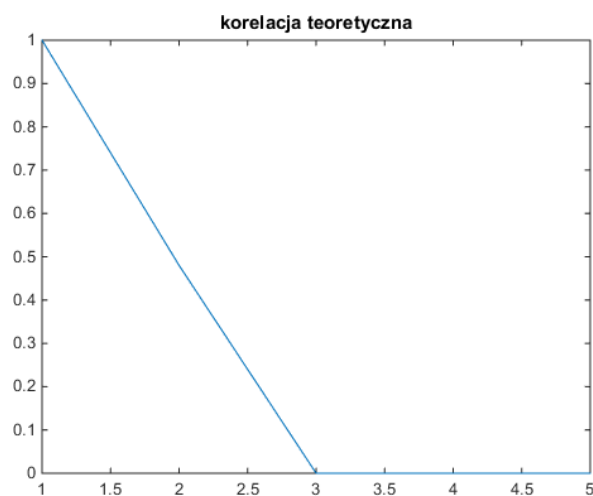
Uśredniona wariancja z 20 realizacji procesu ze sterowaniem średniej ruchomej wynosi 1.5619. Jest to wartość zbliżona do oczekiwanej.

Funkcja autokorelacji

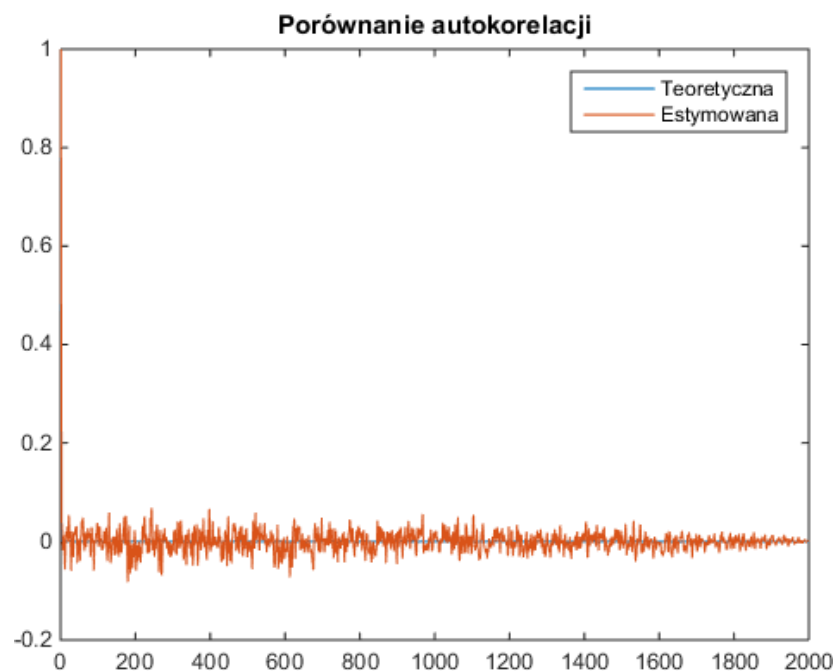
Do obliczenia przykładowej funkcji autokorelacji można posłużyć się wzorem dla procesu MA(1).

$$\begin{aligned}\rho(0) &= 1 \\ \rho(1) &= \frac{F_1}{1 + F_1^2} \\ \rho(k) &= 0 \text{ dla } k > 1\end{aligned}$$

Wykres korelacji teoretycznej:



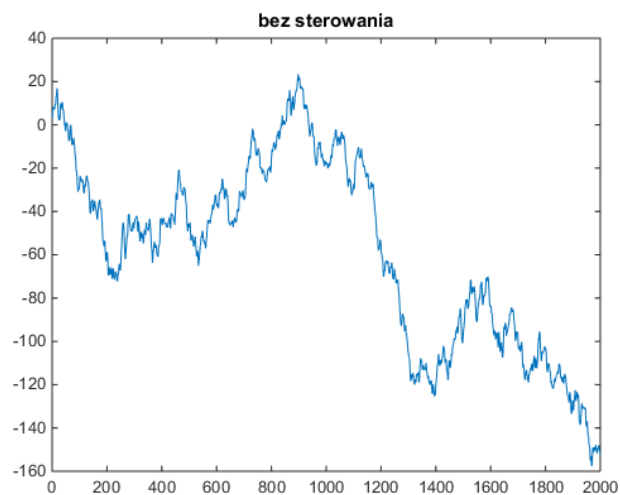
Porównanie z estymatą funkcji autokorelacji:



Można zauważyć, że estymata funkcji autokorelacji jest zbliżona do wartości teoretycznej.

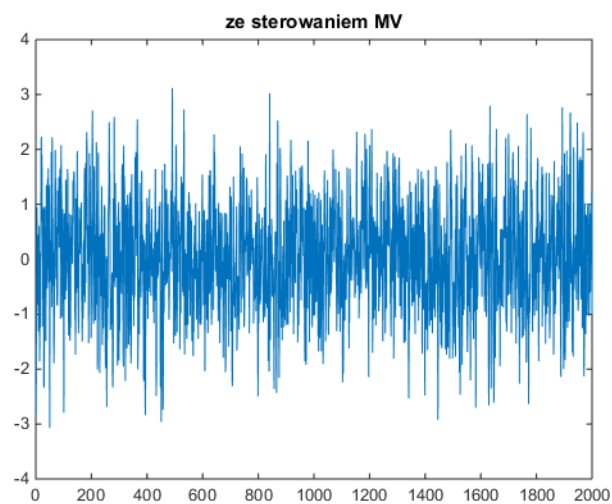
Wyniki symulacji układu otwartego i zamkniętego

Układ otwarty, $u(t) = 0$

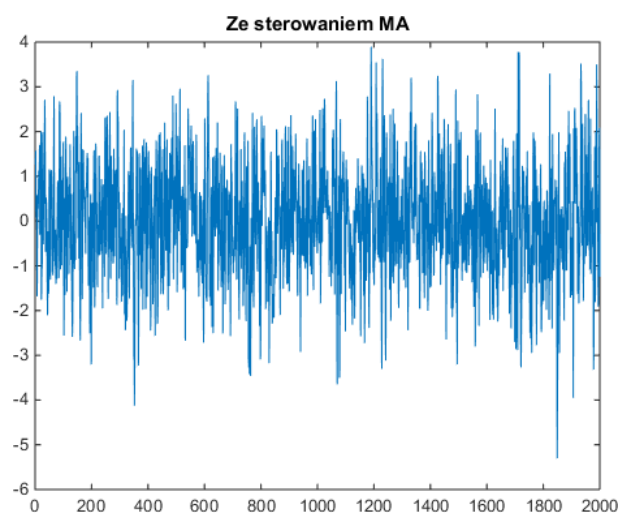


Jest to proces niestacjonarny, opisywany jako błądzenie losowe.

Proces resztowy dla sterownika MV:

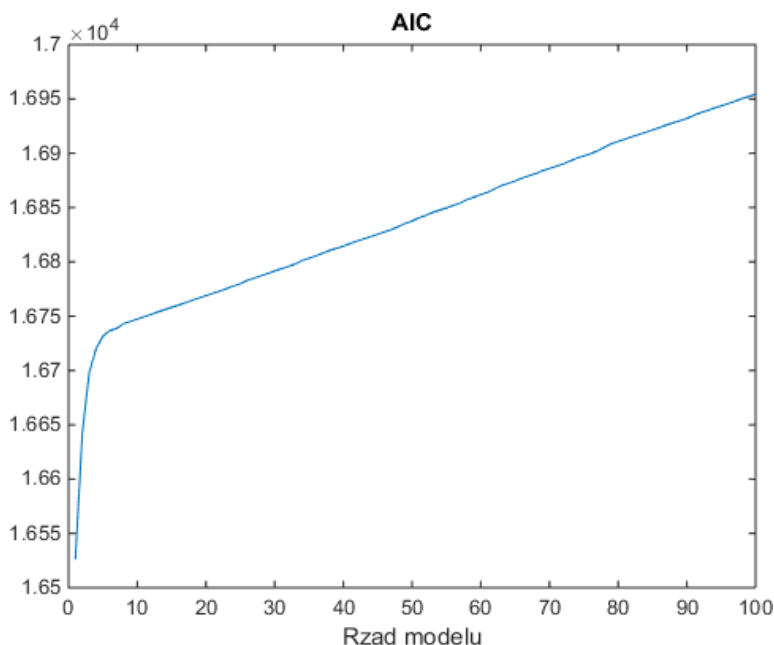


Proces resztowy dla sterownika MA



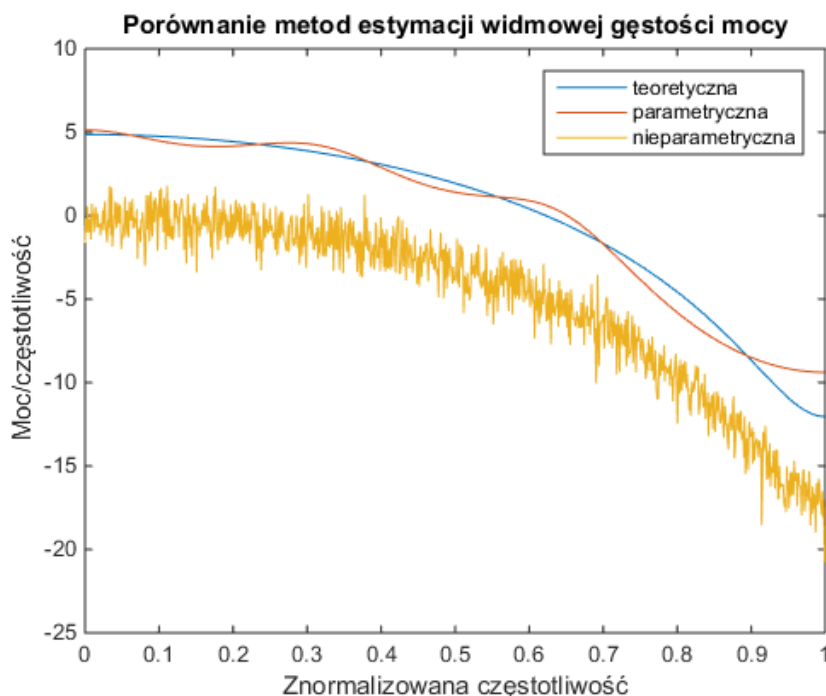
Oszacowanie widma procesu resztowego

Jako metodę nieparametryczną estymaty widma procesu resztowego wybrano periodogram. Jako metodę parametryczną wybrano estymatę Yule'a-Walkera. Rząd metody parametrycznej określono za pomocą kryterium Akaikego. Dla modeli do rzędu 100 wartość parametru jest przedstawiona na poniższym wykresie:



Wybrano rząd modelu 5 na podstawie analizy wykresu.

Tak jak w przypadku wariancji, estymaty widma są średnią z 20 realizacji.



Estymacja parametryczna jest mniej obciążona od periodogramu. Metoda Yule'a-Walkera zwraca wartości bardziej zbliżone do teoretycznego przebiegu widma niż metoda periodogramu.